

B. B. KOTOB

Марийский политехнический институт

## ПЕРЕДАЧА КООРДИНАТ НА ПУНКТЫ НАСТЕННОЙ ПОЛИГОНОМЕТРИИ С ВЕРТИКАЛЬНЫМИ БАЗИСАМИ

В городах с многоэтажной застройкой настенную полигонометрию целесообразно закреплять с помощью стационарных вертикальных базисов. При этом базисы по возможности следует располагать парами (по обе или по одну сторону проезда или площади) на расстоянии 40...200 м друг от друга (рис. 1).

Плановое положение верхних марок  $A$  и  $B$  вертикальных базисов относительно временного пункта  $i$  можно определить с помощью полярных координат: по углам  $\beta_A$ ,  $\beta_B$  и расстояниям  $S_A$ ,  $S_B$ , вычисленным по формулам

$$\left. \begin{aligned} S_A &= \frac{l_A}{\operatorname{tg} \gamma''_A - \operatorname{tg} \gamma'_A} = \frac{l_A}{t_A}, \\ S_B &= \frac{l_B}{\operatorname{tg} \gamma''_B - \operatorname{tg} \gamma'_B} = \frac{l_B}{t_B}, \end{aligned} \right\} \quad (1)$$

где  $\gamma''$  и  $\gamma'$  — углы наклона соответственно на верхнюю и нижнюю марки базиса;  $l$  — расстояние между центрами верхней и нижней марок.

Чтобы обеспечить контроль, повысить надежность и оценить точность результатов, измерения при передаче координат на стенные знаки необходимо произвести дважды: непосредственно с временного пункта  $i$  и со вспомогательной точки. В качестве вспомогательной может быть использована любая точка, которая расположена вблизи временного пункта  $i$  и с которой есть

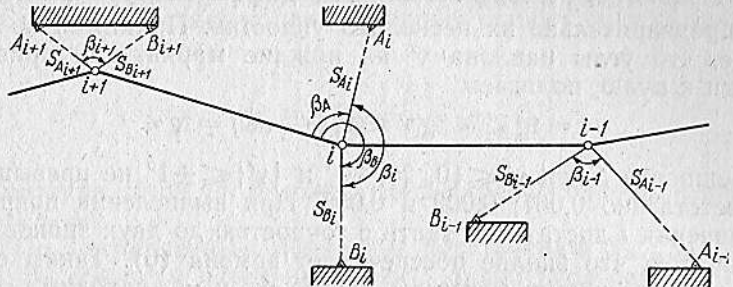


Рис. 1. Схемы передачи координат на пункты, закрепляемые параллельными вертикальными базисами.

видимость на вертикальные базисы. Фиксировать вспомогательную точку и центрировать над ней теодолит не нужно.

Выполненные измерения позволяют дважды определить квадрат расстояния между верхними марками базисов и вычислить его среднее значение:

$$\left. \begin{aligned} (S'_A)^2 + (S'_B)^2 - 2S'_AS'_B \cos \beta' &= (b')^2; \\ (S''_A)^2 + (S''_B)^2 - 2S''_AS''_B \cos \beta'' &= (b'')^2; \\ b^2 &= \frac{(b')^2 + (b'')^2}{2}. \end{aligned} \right\} \quad (2)$$

Измерения можно считать проведенными с требуемой точностью, если относительная ошибка определения расстояния  $b$  удовлетворяет условию

$$\frac{b' - b''}{b} = \frac{(b')^2 - (b'')^2}{2b^2} = \frac{(b')^2 - b^2}{b^2} = \frac{\sigma}{b^2} \leqslant \frac{1}{T}, \quad (3)$$

где  $T$  — знаменатель предельной невязки полигонометрического хода, с которого координаты передаются на стенные знаки. При выполнении условия (3) среднее значение  $b^2$  принимают за окончательное. Затем производят уравнивание углов, измеренных с основного пункта. Уравнения (2) при этом должны удовлетворять условию

$$S_A^2 + S_B^2 - 2S_AS_B \cos \beta - b^2 = 0. \quad (4)$$

Подставив в выражение (4) значение  $S$ , определенные по результатам измерений с основного пункта, и разложив полученное выражение в ряд Тейлора, после некоторых упрощений найдем

$$\frac{v_\beta}{\rho} \sin \beta + \left( \frac{S'_A}{S'_B} - \cos \beta' \right) \frac{v_{sA}}{S'_A} + \left( \frac{S'_B}{S'_A} - \cos \beta' \right) \frac{v_{sB}}{S'_B} + \frac{(b')^2 - b^2}{2S'_AS'_B} = 0. \quad (5)$$

Поправки  $v_{sA}$  и  $v_{sB}$  вычисляем, дифференцируя равенства (1), предварительно их несколько упростив. Принимая во внимание, что углы наклона  $\nu'$  на нижние марки, как правило, близки к нулю, полагаем

$$t = \operatorname{tg} \nu'' - \operatorname{tg} \nu' \approx \operatorname{tg} (\nu'' - \nu') = \operatorname{tg} \nu, \quad (6)$$

Погрешности  $t$  при  $\nu'' \leq 10, 20, 30^\circ$  и  $|\nu'| \leq \pm 1^\circ$  не превышают соответственно 0,001; 0,002 и 0,005. При вычислении поправок  $v_s$  значения  $t$  достаточно знать с точностью до двух знаков после запятой, что вполне обеспечивает замена (6). Таким образом, дифференцируя формулы (1) по  $\nu_A$  и  $\nu_B$ , находим

$$v_{sA} = -\left(\frac{1}{t_A} + t_A\right) \frac{S_A v_{\nu_A}}{\rho}; \quad v_{sB} = -\left(\frac{1}{t_B} + t_B\right) \frac{S_B v_{\nu_B}}{\rho}. \quad (7)$$

При углах наклона, не превышающих  $10^\circ$ , равенства (7) примут вид

$$v_{sA} = -\frac{S_A v_{\nu_A}}{\rho t_A}; \quad v_{sB} = -\frac{S_B v_{\nu_B}}{\rho \cdot t_B}. \quad (8)$$

С учетом (7) условное уравнение (5) можно записать

$$\begin{aligned} v_\beta \sin \beta - \left(\frac{1}{t_A} + t_A\right) \left(\frac{S'_A}{S'_B} - \cos \beta'\right) v_{\nu_A} - \left(\frac{1}{t_B} + t_B\right) \left(\frac{S'_B}{S'_A} - \cos \beta'\right) v_{\nu_B} + \\ + \frac{\sigma \cdot \rho}{2 S'_A S'_B} = a_\beta v_\beta + a_{\nu_A} v_{\nu_A} + a_{\nu_B} v_{\nu_B} + w = 0. \end{aligned} \quad (9)$$

Решая уравнение (9) при условии  $[pv^2] = \min$ , определяем коррелату и поправки в углы

$$k = -\left[\frac{aa}{p}\right], \quad v_i = k \frac{a_i}{p_i}, \quad (10)$$

а затем по формулам (7) поправки к предварительным расстояниям  $S'_A$  и  $S'_B$ . Исправленные значения углов  $\beta_A$  и  $\beta_B$  (рис. 1) получим по формулам:

$$\beta_A = \beta'_A - \frac{v_\beta}{2}; \quad \beta_B = \beta'_B + \frac{v_\beta}{2}. \quad (11)$$

Веса измеренных вертикальных и горизонтальных углов можно найти следующим образом:

$$p_\nu = \left(\frac{m_\nu}{m_v}\right)^2 = 1; \quad p_\beta = \left(\frac{m_\beta}{m_\beta}\right)^2 = \frac{[v_{MO}^2](n_c - 1)}{[v_c^2](n_{MO} - 1)}, \quad (12)$$

где  $v_c$  и  $v_{MO}$  — уклонения соответственно от средних коллимаций

ционных ошибок и от средних значений места нуля;  $n_c$  и  $n_{MO}$  — число вычисленных коллимационных ошибок и значений места нуля. При условии

$$|p_\beta - 1| \leq \frac{1}{2} \left( \frac{1}{n_c} + \frac{p_\beta}{n_{MO}} \right) \quad (13)$$

измерения углов  $\nu$  и  $\beta$  можно считать равноточными и положить  $p_\nu = p_\beta = 1$ .

По исправленным полярным расстояниям  $S_A$ ,  $S_B$  и углам  $\beta_A$ ,  $\beta_B$  обычным путем вычисляют координаты центров верхних

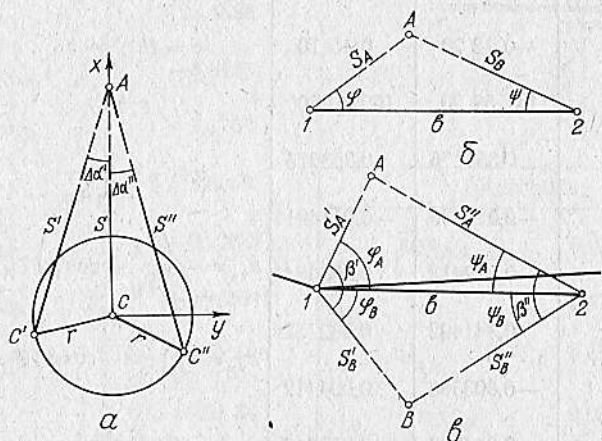


Рис. 2. Схемы расположения стенных пунктов и станций:

a — в процессе последующих привязок; б — при косвенном определении длины вертикального базиса; в — при совместном определении длины двух вертикальных базисов и одновременной передаче на них координат.

марок базисов. Заключительным контролем уравнительных вычислений является сходимость  $b^2$ , найденного из решения обратной геодезической задачи, с его значением, вычисленным по формуле (2). Пример обработки измерений при передаче координат на стенные пункты, закрепляемые парой вертикальных базисов, приведен в табл. 1. При массовом закреплении стенных пунктов парами вертикальных базисов целесообразно составить программу для уравнивания привязок на ЭВМ.

Рассмотрим вопрос об ошибках передачи координат на стенные пункты и о точности последующих привязок к ним. Прежде всего исследуем влияние на точность привязок к стенным пунктам ошибок определения длин вертикальных базисов. В соответствии с методикой, предложенной в работе [1], одни и те же базисы используют и для передачи координат на стенные пункты, и при последующей привязке к ним. В общем виде коорди-

## Строгое уравнивание измерений при передаче

 уравнивание измеренных величин ( $p_\beta = p_\gamma$ )

Обозначения	Основной пункт	Вспомогательная точка	Вычисление расстояний	
$v_A''$	19°21'00"	19°28'20"	$t_A$	8,2380
$v_A'$	-1 13 00	-0 39 30	$t_B$	9,5640
$v_B''$	18 51 00	20 56 40	$b^2$	2224,02
$v_B'$	-0 12 20	0 15 10	$\sigma = (b')^2 - b^2$	+0,24
$\beta$	141 59 20	160 30 50	$\sigma : b^2$	1:9250
$\operatorname{tg} v_A''$	0,351175	0,353573	$w'' = \frac{\sigma \cdot \rho''}{2S'_A S'_B}$	+40,4"
$\operatorname{tg} v_A'$	-0,021238	-0,011491	$a_{v_A} = -\left( \frac{S'_A}{S'_B} - \cos \beta \right) T_A$	-4,85
$t_A$	0,372413	0,365064	$a_{v_B} = -\left( \frac{S'_B}{S'_A} - \cos \beta \right) T_B$	-6,60
$\operatorname{tg} v_B''$	0,341402	0,382752	$a_\beta = \sin \beta$	+0,62
$\operatorname{tg} v_B'$	-0,003588	0,004412	$[aa]$	67,47
$t_B$	0,344990	0,378340	$k = -w'' : [aa]$	-0",599
$S'_A = t_A : t_B$	22,1210	22,5659	$v_{v_A} = k \cdot a_{v_A}$	+2,9"
$S'_B = t_B : t_A$	27,7230	25,2789	$v_{v_B} = k \cdot a_{v_B}$	+4,0
$S'_A S'_B$	613,26	570,44	$v_\beta = k \cdot a_\beta$	-0,4
$2S'_A S'_B$	1226,52	1140,88	$v_{SA} = -\frac{S_A \cdot v_{v_A}}{\rho} T_A$	-0,0009
$-\cos \beta$	0,787891	0,942722	$v_{SB} = -\frac{S_B \cdot v_{v_B}}{\rho} T_B$	-0,0017
$-2S'_A S'_B \cos \beta$	966,36	1075,53	$S_A = S'_A + v_{SA}$	22,1201
$(S'_A)^2$	489,34	509,22	$S_B = S'_B + v_{SB}$	27,7213
$(S'_B)^2$	768,56	639,02		
$(b')^2$	2224,26	2223,77		
$T = (1:t) + t$	$T_A = 3,06$	$T_B = 3,24$		

координат на пару стенных пунктов

## Вычисление координат стенных пунктов

$y_B - y_A$	+1,4696		
$y_A$	2726,9892	$\alpha$	$\beta$
$y_B$	2728,4588	$\alpha_i$	$\beta_i$
$S_A \sin \alpha_{iA}$	-8,6458		
$S_B \sin \alpha_{iB}$	-7,1762		
$y_i$	2735,6350	Контроль	
$\sin \alpha_{iB}$	-0,258871	$\operatorname{tg} \alpha_{AB}$	0,031177
$\cos \alpha_{iB}$	+0,965912	$r_{AB}$	1°47'09"
$\alpha_{iB} = \alpha_{ik} + \beta_B$	344°59'49"	$\alpha_{AB}$	1 47 09
$\beta_B$	69 21 34	$\sin \alpha_{AB}$	0,031163
$\alpha_{ik}$	275 38 15	$\cos \alpha_{AB}$	0,999514
$\beta_A$	287 22 14	$b$	(47,1590)
$\alpha_{iA} = \alpha_{ik} + \beta_A$	203 00 29	$b$	47,1596
$\sin \alpha_{iA}$	-0,390860	$b^2$	2224,03
$\cos \alpha_{iA}$	-0,920450	Оценка точности	
$x_i$	1581,6010	$m_y$	±5"
$S_B \cos \alpha_{iB}$	+26,7763	$m_{S_A}$	±1,26 мм
$S_A \cos \alpha_{iA}$	-20,3604	$m_{S_B}$	±1,27 мм
$x_B$	1608,3773	$M_A$	±1,37 мм
$x_A$	1561,2406	$M_B$	±1,40 мм
$x_B - x_A$	+47,1367	$m_{\alpha_{AB}}$	±61"

наты станции в процессе привязки к стенному пункту с вертикальным базисом можно определить по формулам:

$$\left. \begin{aligned} x'_c &= x_c + S \cos \alpha + S' \cos (\alpha + 180^\circ + \Delta\alpha); \\ y'_c &= y_c + S \sin \alpha + S' \sin (\alpha + 180^\circ + \Delta\alpha), \end{aligned} \right\} \quad (14)$$

где  $x_c$ ,  $y_c$  — координаты временного грунтового пункта, относительно которого определялись координаты стенного пункта;  $S$  и  $\alpha$  — расстояние и дирекционный угол направления на стенной пункт в процессе передачи на него координат;  $S'$  и  $(\alpha + 180^\circ + \Delta\alpha)$  — расстояние и дирекционный угол направления на станцию в процессе последующей привязки к стенному пункту.

Приняв направление  $CA$  (рис. 2, а) за ось  $x$ , равенствам (14) с учетом (1) можно придать вид:

$$\left. \begin{aligned} x'_c &= x_c + S - S' \cos \Delta\alpha = x_c + \frac{l}{t} - \frac{l}{t'} \cos \Delta\alpha; \\ y'_c &= y_c - S' \sin \Delta\alpha = y_c - \frac{l}{t'} \sin \Delta\alpha. \end{aligned} \right\} \quad (15)$$

Дифференцируя далее (15) по  $l$  и переходя к средним квадратическим ошибкам, находим

$$\left. \begin{aligned} m'_x &= \frac{m_l}{l} (S - S' \cos \Delta\alpha); \\ m'_y &= \frac{m_l}{l} S' \sin \Delta\alpha. \end{aligned} \right\} \quad (16)$$

Вычислим общую среднюю квадратическую ошибку в положении станции  $C'$ , вызванную ошибкой в длине вертикального базиса:

$$m' = \sqrt{(m'_x)^2 + (m'_y)^2} = \frac{m_l}{l} \sqrt{S^2 + (S')^2 - 2SS' \cos \Delta\alpha} = \frac{m_l}{l} r. \quad (17)$$

Таким образом, если в процессе последующих привязок к стенным пунктам с вертикальными базисами расстояния до станций относительно временного грунтового пункта  $C$  (рис. 2, а), с которого производилась передача координат, не будут превышать величины  $l$ , то влияние ошибки в длине вертикального базиса на положение определяемой точки не будет превышать ошибки  $m_l$  самого базиса, т. е. практически будет неощутимым. Отсюда следует, что основным источником ошибок в процессе привязок к настенным пунктам с вертикальными базисами будут являться ошибки геометрической связи.

Средние квадратические ошибки исправленных расстояний  $S_A$  и  $S_B$  можно вычислить по формуле, приведенной в работе [1]:

$$m_s = v_s \sqrt{\left(\frac{m_v}{v_v}\right)^2 - 1}, \quad (18)$$

где  $m_v$  — средняя квадратическая ошибка измерения углов  $v$ .  
Найдем средние квадратические ошибки положения верхних марок базисов относительно временного грунтового пункта

$$M = \sqrt{\left(\frac{S \cdot m_\beta}{\rho}\right)^2 + m_s^2}, \quad (19)$$

Для вычисления средней квадратической ошибки дирекционного угла линии, соединяющей верхние марки базисов, можно воспользоваться выводами, приведенными в работе [3], в соответствии с которыми для двух независимо определяемых точек

$$m_{\alpha_{AB}} = \frac{\rho \frac{\sqrt{M_A^2 + M_B^2}}{2}}{b} \approx \frac{\rho \cdot M}{(S_A + S_B) \sin \frac{\beta}{2}}, \quad (20)$$

где  $M$  — среднее значение ошибки положения конечной точки линии  $AB$ .

При проектировании стационарных вертикальных базисов ожидаемые средние квадратические ошибки определения расстояний  $S_A$  и  $S_B$  найдем по формуле

$$\begin{aligned} m_s &= m_v \sqrt{\frac{1}{p_s}} = m_v \sqrt{[FF] - \frac{[aF]^2}{[aa]}} = m_v \left(\frac{1}{t} + t\right) \rho \sqrt{+1 \frac{a^2}{[aa]}} \approx \\ &\approx m_v \left(\frac{1}{t} + t\right) \frac{S}{\rho} \sqrt{\frac{1}{2}} \approx \frac{S \cdot m_v}{\rho \cdot t} \sqrt{\frac{2}{3}} = \frac{S^2 m_v}{\rho \cdot l} \sqrt{\frac{2}{3}}, \end{aligned} \quad (21)$$

где  $S$  и  $l$  — соответственно средние значения расстояний  $S_A$ ,  $S_B$  и базисов  $l_A$ ,  $l_B$ .

С учетом формулы (21) выражения (19) и (20) для предвычисления ожидаемых ошибок определения положения верхних марок  $A$  и  $B$  базисов и дирекционных углов  $\alpha_{AB}$  принимают вид:

$$M = \frac{S \cdot m_v}{\rho} \sqrt{1 + \frac{2}{3} \left(\frac{S}{l}\right)^2}, \quad m_{\alpha_{AB}} = \frac{m_v}{2 \sin \frac{\beta}{2}} \sqrt{1 + \frac{2}{3} \left(\frac{S}{l}\right)^2}. \quad (22)$$

Из формул (22) следует, что временные пункты полигонометрии, используемые для передачи координат на стенные знаки, по возможности нужно располагать вблизи линии, соединяющей верхние марки базисов, а длины  $l$  выбирать, исходя из ожидаемых расстояний  $S$ . При  $\frac{S}{l} \leq 2,1$  и  $\beta \geq 145^\circ$  средняя квадратиче-

ская ошибка дирекционного угла опорной линии  $AB$  не будет превышать средней квадратической ошибки измерения углов наклона.

Средние квадратические ошибки определения положения точек при последующей привязке к стенным пунктам с вертикальными базисами можно вычислить по формуле

$$M_c^2 = \frac{M^2}{2} + m_s^2 + \frac{(m_{\alpha AB}^2 + m_{\beta}^2)S^2}{\rho^2}, \quad (23)$$

где  $m_{\phi}$  — средняя квадратическая ошибка определения примычных углов  $\phi$  и  $\psi$  при опорной линии  $AB$ .

В работе [1] установлено, что при положении определяемых точек вблизи линии  $AB$  средние квадратические ошибки  $m_{\phi}$  примычных углов обычно не превосходят средних квадратических ошибок углов  $\nu$  и  $\beta$ , измеряемых в процессе привязок. Поэтому, полагая  $m_{\phi} = m_{\nu}$  и принимая во внимание равенства (20) и (21), формуле (23) при использовании ее для предвычисления ожидаемой точности определения точек при последующих привязках можно придать вид:

$$M_c^2 = \frac{M^2}{2} \left( 1 + \frac{1}{2 \sin \frac{\beta}{2}} \right) + \left( \frac{S \cdot m_{\nu}'}{\rho} \right)^2 \left\{ 1 + \frac{2}{3} \left( \frac{S}{l} \right)^2 \right\}, \quad (24)$$

где  $m_{\nu}'$  — средняя квадратическая ошибка измерения углов в процессе привязки.

Если углы  $\nu$  и  $\beta$  при последующих привязках к пунктам настенной полигонометрии измеряют с такой же точностью, что и аналогичные углы в процессе передачи координат на эти пункты, и углы  $\beta \geq 130^\circ$ , то формулу (24) с учетом (22) можно записать

$$M_c = \frac{S \cdot m_{\nu}'}{\rho} \sqrt{2 + \left( \frac{S}{l} \right)^2}. \quad (25)$$

Обычно в процессе передачи координат на стенные пункты углы  $\nu$  и  $\beta$  измеряют с большей точностью, чем при последующих привязках к ним, поэтому формула (25) обеспечивает некоторый запас точности. Формулу (25) можно использовать также для расчета необходимой точности измерения углов  $\nu$  и  $\beta$  в процессе последующих привязок к стенным пунктам.

Длины вертикальных базисов, входящие в приведенные выше формулы, обычно измеряют непосредственно, по методике, описанной в работе [1]. В тех случаях, когда непосредственное изменение базисов невозможно, их определяют косвенным способом. Для этого вблизи вертикального базиса выбирают две точки так, чтобы направления  $1A$  и  $2A$  пересекались приблизительно под прямым углом, а расстояние  $b$  составляло 2—4 длины  $l$  (рис. 2, б). Затем в точке  $1$  устанавливают теодолит, в точ-

ке 2 — горизонтальный жезл длиной  $a$  и измеряют параллактический угол  $\delta_1$  между направлениями на крайние марки жезла, горизонтальный угол  $\varphi$  между направлениями на верхнюю марку  $A$  вертикального базиса и среднюю марку жезла и углы наклона  $v_1$  и  $v_2$ . Затем, не изменяя положения штативов, производят перестановку теодолита и жезла и выполняют аналогичные измерения на второй точке. При этом параллактический угол  $\delta_2$  измеряют последним. Фиксирование точек 1 и 2 на местности и центрирование на них теодолита и жезла не производят. Расстояние  $b$  вычисляют по формуле

$$b = \frac{a}{2} \operatorname{ctg} \frac{\delta}{2}. \quad (26)$$

Дифференцируя (26) по  $a$  и  $\delta$  и принимая во внимание, что  $b$  определяется дважды, находим

$$m_b = \sqrt{\frac{1}{2} \left\{ \left( \frac{m_a}{a} b \right)^2 + \left( \frac{m_\delta}{\delta} b \right)^2 \right\}}. \quad (27)$$

При  $a=3$  м и  $b \leq 30$  м  $\delta \geq 5^{\circ}43'$ , поэтому, полагая  $m_a = \pm 0,2$  мм и  $m_\delta = \pm 2''$ , получаем  $m_b \leq 2,5$  мм \*.

При  $b > 30$  м жезл можно устанавливать посередине измеряемой линии. В этом случае

$$b = \frac{a}{2} \operatorname{ctg} \frac{\delta_1}{2} + \frac{a}{2} \operatorname{ctg} \frac{\delta_2}{2}, \quad m_b = \sqrt{\frac{1}{2} \left\{ \left( \frac{m_a}{a} b \right)^2 + \left( \frac{m_\delta}{\delta} b \right)^2 \right\}}. \quad (28)$$

Обычно  $b$  не превышает 40...50 м, поэтому, полагая  $a=3$  м,  $b \leq 48$  м,  $m_a = \pm 0,2$  мм и  $m_\delta = \pm 2''$ , при положении жезла в середине линии находим  $\delta \geq 7^{\circ}08'$  и  $m_b \leq 3,5$  мм.

Поскольку  $l$  обычно в 2—4 раза меньше  $b$ , то в среднем ошибка в длине вертикального базиса, вызванная ошибкой определения расстояния  $b$ , не будет превышать величины

$$m_l \leq m_b \frac{l}{b} \approx \frac{2,5 + 3,5}{2} \cdot \frac{2}{2+4} = 1 \text{ мм}. \quad (29)$$

Такой ошибкой в длинах вертикальных базисов при последующих привязках к стенным пунктам, учитывая свойство (17), можно пренебречь.

Измерения, выполненные на точках 1 и 2, позволяют произвести уравнительные вычисления и определить вероятнейшую длину вертикального базиса. На основании рис. 2, б можно написать условное уравнение

$$t_1 \sin \psi - t_2 \sin \varphi = 0. \quad (30)$$

\* По данным работы [2], параллактические углы  $\delta$  можно измерять с точностью  $\pm 1''$ , а длину жезла —  $\pm 0,1$  мм.

Разложив уравнение (30) в ряд Тейлора и произведя упрощения, найдем

$$v_{y_1}(1+t_1^2)\sin\psi - v_{y_2}(1+t_2^2)\sin\varphi + v_\varphi t_1 \cos\psi - v_\varphi t_2 \cos\varphi + \\ + (t'_1 \sin\psi' - t'_2 \sin\varphi') \rho'' = a_{y_1}v_{y_1} + a_{y_2}v_{y_2} + a_\varphi v_\varphi + a_\psi v_\psi + w = 0. \quad (31)$$

Решая (31) при условии  $[pv^2] = \min$ , получаем

$$k = -\frac{w}{\left[\frac{aa}{p}\right]}, \quad v_i = k \frac{a_i}{p_i}. \quad (32)$$

В заключение дважды вычислим длину вертикального базиса

$$l = l'_1 + \delta l_1, \quad l = l'_2 + \delta l_2. \quad (33)$$

Предварительные значения  $l'_1$  и  $l'_2$  вертикальных базисов вычислим непосредственно по измеренным углам

$$l'_1 = s_1 t_1 = \frac{b \sin \psi}{\sin(\varphi + \psi)} t_1; \quad l'_2 = s_2 t_2 = \frac{b \sin \varphi}{\sin(\varphi + \psi)} t_2, \quad (34)$$

а поправки  $\delta l_1$  и  $\delta l_2$  к ним найдем по дифференциальным формулам

$$\delta l_1 = \frac{l_1}{\rho} \left\{ [\operatorname{ctg} \psi - \operatorname{ctg}(\varphi + \psi)] v_\varphi - \operatorname{ctg}(\varphi + \psi) v_\varphi + \frac{1+t_1^2}{t_1} v_{y_1} \right\}; \quad (35)$$

$$\delta l_2 = \frac{l_2}{\rho} \left\{ [\operatorname{ctg} \varphi - (\operatorname{ctg} \varphi + \psi)] v_\varphi - \operatorname{ctg}(\varphi + \psi) v_\varphi + \frac{1+t_2^2}{t_2} v_{y_2} \right\}.$$

Более компактно формулы (35) запишем в виде

$$\delta l_1 = \frac{l_1}{\rho} (F'_\varphi v_\varphi + F'_\psi v_\psi + F'_y v_{y_1}) = \frac{l_1}{\rho} [F' v]; \quad (36)$$

$$\delta l_2 = \frac{l_2}{\rho} (F'_\varphi v_\varphi + F'_\psi v_\psi + F'_y v_{y_2}) = \frac{l_2}{\rho} [F'' v].$$

Оценку точности определения  $l$  можно произвести по формуле

$$m_l = \frac{m_y \cdot l}{\rho \sqrt{p_l}}, \quad (37)$$

где  $\frac{1}{p_e}$  — значение обратного веса

$$\frac{1}{p} = [FF] - \frac{[aF]^2}{[aa]}. \quad (38)$$

Для контроля обратный вес можно вычислить дважды по коэффициентам  $F'$  и по коэффициентам  $F''$ .

Таблица 2

## Вычисление длины вертикального базиса по строгим формулам

Измеренные величины		Результаты вычислений ( $p_{\varphi} = p_0$ )	
$b$	31,925	$\operatorname{tg} \gamma_2'$	0,324094
$\varphi$	$76^{\circ}39'44''$	$\operatorname{tg} \gamma_2'$	$F_{\varphi}' = -\operatorname{ctg}(\varphi + \psi)$
$\psi$	45 22 08	$t_3$	$F_{\psi}' = \operatorname{ctg} \psi - \operatorname{ctg}(\varphi + \psi)$
$\varphi + \psi$	122 01 52	$t_2^2 + 1$	$F_{\varphi+\psi}' = (t_1^2 + 1) : t_1$
$\gamma_1'$	24 12 44	$A = t_1 \sin \psi$	$F_{\varphi}' = \operatorname{ctg} \varphi - \operatorname{ctg}(\varphi + \psi)$
$\gamma_1'$	- 2 20 00	$B = t_3 \sin \varphi$	$F_{\psi}' = F_{\varphi}' = -\operatorname{ctg}(\varphi + \psi)$
$\gamma_2''$	17 57 26	$A - B$	$F_{\varphi+\psi}' = (t_2^2 + 1) : t_2$
$\gamma_2''$	- 1 58 38	$w = (A - B) \rho''$	$[F' v]$
$\sin \varphi$	0,973028	$q = b : \sin(\varphi + \psi)$	$[F'' v]$
$\cos \varphi$	0,231	$t_1' = q \cdot A$	$\mathfrak{U}_1 = I_1 [F' v] : \rho''$
$\operatorname{ctg} \varphi$	0,237	$t_2' = q \cdot B$	$\mathfrak{U}_2 = I_2 [F'' v] : \rho''$
$\sin \psi$	0,711644	$a_{\varphi} = -t_2 \cos \varphi$	$I = I_1' + \mathfrak{U}_1$
$\cos \psi$	0,703	$a_{\psi} = t_1 \cos \psi$	$I = I_2' + \mathfrak{U}_2$
$\operatorname{ctg} \psi$	0,987	$a_{\gamma_1} = (t_1^2 + 1) \sin \psi$	Оценка точности ( $m_{\gamma} = 8''$ )
$\sin(\varphi + \psi)$	0,847760	$a_{\gamma_2} = -(t_2^2 + 1) \sin \varphi$	$[F' F']$
$\operatorname{ctg}(\varphi + \psi)$	- 0,626	$[aa]$	$[aF']$
$\operatorname{tg} \gamma_1'$	0,449674	$k = -w : [aa]$	$[F'' F'']$
$\operatorname{tg} \gamma_1'$	- 0,040747	$v_{\varphi} = k \cdot a_{\varphi}$	$[aF'']$
$t_1$	0,490421	$v_{\psi} = k \cdot a_{\psi}$	$\frac{1}{p_1} = [F'' F''] - [aF'']^2 : [aa]$
$t_1^2 + 1$	1,24	$v_{\gamma_1} = k \cdot a_{\gamma_1}$	$m_t = \frac{m_{\gamma}}{\rho''} \sqrt{\frac{1}{p}}$

Пример вычисления  $l$  по строгим формулам приведен в табл. 2. Если  $v_1 \approx v_2$  и  $\varphi \approx \psi$ , то окончательное значение  $l$  можно находить как среднее арифметическое из значений  $l'_1$  и  $l'_2$ , вычисленных непосредственно по формулам (34). Оценку точности  $l$  в этом случае также можно произвести по упрощенной формуле

$$m_l = \frac{m_v \cdot l}{\rho} \sqrt{\frac{[F^2]}{2}} \approx \frac{l \cdot m_v}{\rho \cdot t} \sqrt{\left(\frac{t}{\sin \varphi}\right)^2 + \frac{1}{2}}, \quad (39)$$

где  $\varphi$  и  $t$  — значения, соответствующие наименьшим из углов  $\varphi, \psi$  и  $v_1, v_2$ .

Если один из концов базиса  $b$  совмещается с временным грунтовым пунктом и одновременно с определением  $l$  осуществляется передача координат на верхнюю марку, то вычисляется также одно из расстояний  $S'$

$$S' = b \frac{\sin \varphi}{\sin (\varphi + \psi)}. \quad (40)$$

При этом поправку  $\delta S$  в это расстояние определяют по формуле

$$\delta S = \frac{b}{\rho} (F_\varphi v_\varphi + F_\psi v_\psi), \quad (41)$$

а среднюю квадратическую ошибку

$$m_s = \frac{b \cdot m_v}{\rho \sqrt{p_s}} = \frac{b \cdot m_v}{\rho} \sqrt{F_\varphi^2 + F_\psi^2 - \frac{(a_\varphi F_\varphi + a_\psi F_\psi)^2}{[aa]}}. \quad (42)$$

Если одновременно находят два вертикальных базиса и передают координаты на обе верхние марки (рис. 2, б), то можно произвести более жесткое уравнивание измеренных углов путем совместного решения четырех условных уравнений

$$\left. \begin{array}{l} t'_A \sin \psi_A - t''_A \sin \varphi_A = 0; \\ t'_B \sin \psi_B - t''_B \sin \varphi_B = 0; \\ \varphi_A + \varphi_B - \beta' = 0; \quad \psi_A + \psi_B - \beta'' = 0. \end{array} \right\} \quad (43)$$

Полевые испытания показали, что метод настенной полигонометрии с вертикальными базисами имеет следующие преимущества:

1) полностью исключается необходимость в линейных измерениях, условия для производства которых, как правило, являются неблагоприятными;

2) значительно повышается маневренность при выборе привязочных станций, которые можно намечать в наиболее удобных для наблюдений местах, в том числе на осях проездов, в центрах перекрестков и площадей, на пустырях;

3) существенно повышается точность и оперативность полевых работ, так как нет необходимости центрировать теодолит и визирные цели и вводить поправки за наклон линий. Все наблюдения может выполнить один исполнитель;

4) в значительной степени нейтрализуются ошибки в длинах вертикальных базисов;

5) обеспечивается надежность передачи координат на стенные пункты и последующей привязки к ним в результате совместного уравнивания измерений на обе опорные марки.

**Список литературы:** 1. Котов В. В. Привязка к пунктам настенной полигонометрии с помощью вертикальных базисов. — «Геодезия и картография», 1973, № 12. 2. Кузин Н. А., Лебедев Н. Н. Практическое руководство по городской и инженерной полигонометрии. М., «Геодезиздат», 1954. 3. Маслов А. В., Горохов Г. Н. Геодезия. Ч. 3. (Геодезические работы при землеустройстве). М., «Недра», 1964.

Работа поступила в редакцию 17 февраля 1976 года. Рекомендована кафедрой инженерной геодезии Марийского политехнического института